

- [15] Григорьянц А.В., Ржанов Ю.А., Балка-
рэй Ю.И. // Письма в ЖТФ. 1987. Т. 13. В. 23.
С. 1465-1471.
- [16] MacKenzie H.A., Reid J.J.E., Al-
Attar H.A., Abraham E. // Opt. Comm.
1986. V. 60. N 3. P. 181-186.

Институт радиотехники
и электроники АН СССР,
Москва

Поступило в Редакцию
12 июня 1989 г.

Письма в ЖТФ, том 15, вып. 23

12 декабря 1989 г.

06.3

ТЕМПЕРАТУРНАЯ ЧУВСТВИТЕЛЬНОСТЬ
ВОЛОКОННОГО ИНТЕРФЕРОМЕТРА
НА ОСНОВЕ ДВУХКАНАЛЬНОГО СВЕТОВОДА

Э.А. Захидов, М.А. Касымджанов,
В.В. Пан

Волоконно-оптические интерферометры на основе одномодовых световодов имеют высокую чувствительность к различным физическим полям. Но случайная модуляция фазы и поляризации излучения в световоде, обусловленная другими внешними возмущениями, может существенно (на несколько порядков) снизить реальные чувствительности датчиков на основе подобных интерферометров [1]. Двухканальный одномодовый волоконный световод (ДОВС) позволяет в значительной степени избавляться от подобных шумов при использовании двух световедущих каналов в качестве двух "плеч" интерферометра [2]. К преимуществам ДОВС следует отнести также возможность контроля состояния поляризации излучения в каналах путем управления оптической анизотропией в них за счет изменения параметров световода.

Данная работа посвящена исследованию температурной чувствительности фазы (ТЧФ) излучения в ДОВС с целью определения физических причин дифференциального воздействия температурного поля на фазы излучения в каналах и возможности использования данного устройства в качестве датчика температуры. Был исследован световод на основе плавленого кварца, легированного двуокисью германия ($\approx 4\%$), с двумя световедущими каналами (рис. 1,а) с диаметрами $2\rho = 6$ мкм, расстоянием между ними 24 мкм и длиной волны отсечки $\lambda_c = 0.63$ мкм. В качестве источника излучения использовался гелий-неоновый лазер ($\lambda = 0.63$ и 1.15 мкм).

Рассмотрим возможные механизмы ТЧФ излучения в ДОВС. Абсолютная ТЧФ излучения в световоде на основе плавленого кварца зависит от λ и составляет на $\lambda = 0.6$ мкм

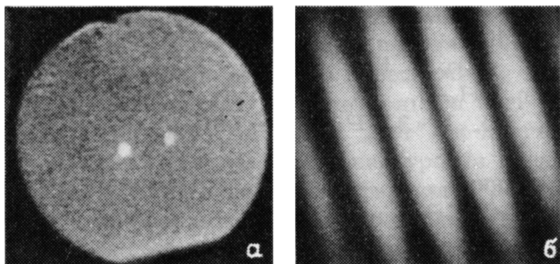


Рис. 1. Фотографии ближнего (а) и дальнего (б) полей излучения на выходе ДОВС.

$\sim 100 \frac{\text{рад}}{\text{м.град}}$ [3]. Анизотропия световода, вызываемая отсутствием аксиальной симметрии в его структуре, приводит к относительно большому значению двупреломления δn ($\delta n \sim 10^{-5}$ для исследованного ДОВС). Температурные изменения этих напряжений, а значит и δn , приводят к дифференциальной ТЧФ для двух поляризационных мод ДОВС, которая, как обычно, не превышает

$4 \frac{\text{рад}}{\text{м.град}}$ [3]. Третий вид ТЧФ, дифференциальная, характерна только ДОВС и обусловливается неидентичностью его каналов, т.к. при существующей технологии изготовления ДОВС параметры каналов (2ρ или разности показателей преломления каналов n_i и оболочки n) могут отличаться до 5 %. Следует отметить, что для создания датчика температуры с управляемой ТЧФ можно изготовить ДОВС с заранее известным отличием параметров каналов.

При прохождении излучения через ДОВС длиной L , разность фаз излучений, прошедших по двум каналам, можно выразить так

$$\Delta\varphi = (\beta_1 - \beta_2)L = k(b_1 \Delta n_1 - b_2 \Delta n_2)L, \quad (1)$$

где $\beta_i = k(n_i - b_i \Delta n_i)$ – постоянные распространения, b_i – нормированные постоянные распространения каналов [4], $k = 2\pi/\lambda$, $\Delta n_i = n_i - n$. Дифференциальную ТЧФ двух каналов с учетом (1) и в предположении линейной зависимости b от частотного параметра $V = k\rho\sqrt{2n_i \Delta n_i}$ вблизи $V = 2.4$ [4] после несложных алгебраических преобразований можно выразить как

$$\frac{1}{L} \frac{d(\Delta\varphi)}{dt} = k \left[\frac{3}{2} \left(b_1 \frac{d(\Delta n_1)}{dt} - b_2 \frac{d(\Delta n_2)}{dt} \right) + \left(\Delta n_1 b_1 \frac{1}{\rho_1} \frac{d\rho_1}{dt} - \Delta n_2 b_2 \frac{1}{\rho_2} \frac{d\rho_2}{dt} \right) \right]. \quad (2)$$

Таким образом, дифференциальная ТЧФ, обусловленная разностью термооптических коэффициентов каналов, описывается выражением

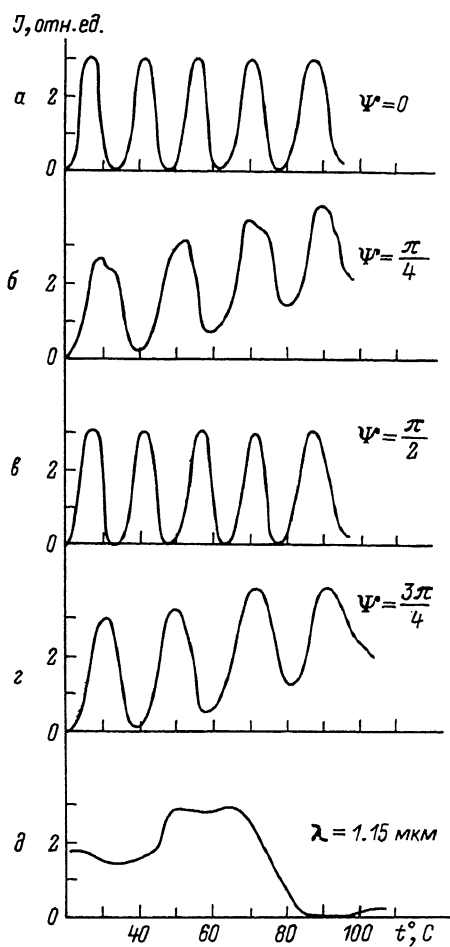


Рис. 2. Температурные зависимости интерференционного сигнала при различных ориентациях поляризации излучения на входе ДОВС при $\lambda = 0.63 \text{ мкм}$ (а-г) и $\lambda = 1.15 \text{ мкм}$ (д).

в первой скобке, а дифференциальная ТЧФ, обусловленная разностью коэффициентов термического расширения, – выражением во второй скобке. Пользуясь формулой (2) и табличными данными $\frac{dn}{dt} =$
 $= 1 \cdot 10^{-5} \frac{1}{\text{град}} \text{ и } \frac{1}{\rho} \frac{d\rho}{dt} = 5 \cdot 10^{-7} \frac{1}{\text{град}}$ для SiO_2 и $\frac{dn}{dt}$
 $= 2 \cdot 10^{-5} \frac{1}{\text{град}} \text{ и } \frac{1}{\rho} \frac{d\rho}{dt} = 77 \cdot 10^{-7} \frac{1}{\text{град}}$ для GeO_2 на $\lambda \approx 0.6 \text{ мкм}$

[5], в предположении линейной зависимости этих коэффициентов от концентрации GeO_2 для системы $SiO_2 + GeO_2$, можно определить, что в исследованном световоде отличие Δn на 5 % вызывает дифференциальную ТЧФ 0.55 $\frac{\text{рад}}{\text{м} \cdot \text{град}}$, а отличие ρ на 5 % – дифференциальную ТЧФ 0.33 $\frac{\text{рад}}{\text{м} \cdot \text{град}}$. Отметим, что неидентичность

параметров каналов ДОВС может привести к различию механических напряжений в них, следовательно, и величины δn и появлению дополнительной дифференциальной ТЧФ между двумя поляризационными модами в каждом канале. Согласно расчетам, приведенным в [3], такая поляризационная дифференциальная ТЧФ значительно меньше, чем дифференциальная ТЧФ, описываемая формулой (2). В эксперименте дифференциальная ТЧФ определялась по периоду температурной зависимости интерференционного сигнала [3] при равномерном возбуждении обоих каналов, когда видность интерференционной картины была максимальной (рис. 1, б).

На рис. 2, а–г представлены температурные зависимости сигнала при различных ориентациях поляризации излучения на входе ДОВС Ψ при $\lambda = 0.63 \text{ мкм}$. При соответствии ориентации поляризации излучения к одной из главных осей ДВС ($\Psi = 0$ или $\Psi = \pi/2$) зависимости строго подчиняются закону $\sin^2 4\Psi$ и соответствуют интерференции двух параллельно–поляризованных волн (рис. 2, а и в). Период $T \approx 15^\circ\text{C}$ при $L = 1 \text{ м}$ соответствует $\frac{1}{L} \frac{d(4\Psi)}{dt} =$
 $= 0.46 \frac{\text{рад}}{\text{м} \cdot \text{град}}$. При возбуждении обоих мод в каждом канале ($\Psi = \pi/4$ или $3\pi/4$, рис. 2, б и г соответственно) к периодической зависимости ($T \approx 20^\circ\text{C}$) добавляется дрейфовое изменение сигнала за значительно большие температурные интервалы ($\sim 100^\circ\text{C}$). Такое поведение температурных зависимостей сигнала, определяемое состоянием поляризации излучения на входе ДОВС, можно объяснить анизотропией световода. В случае исследованного световода с длиной биений поляризованных мод отдельного канала $L_d = \lambda/\delta n \sim \sim 6.3 \text{ см}$ динамика состояния поляризации по длине ДОВС будет сложной [6] и зависящей от температуры. Следовательно, при возбуждении обоих мод на выходе световода состояния поляризации излучения из двух каналов с изменением температуры изменяются неидентично. Это может привести к изменению периода T и появлению дрейфа сигнала. В пользу такого предположения говорит тот факт, что при $\lambda = 1.15 \text{ мкм}$, когда эффективная величина δn значительно меньше, чем при $\lambda = 0.63 \text{ мкм}$, а оптическая активность из-за скручиваний практически неизменна, зависимость настолько

усложнилась, что выделить периодическую часть и дрейф при любом значении ψ стало невозможным (рис. 2,д).

Таким образом, из приведенного анализа и полученных экспериментальных результатов можно сделать выводы: 1) интерферометр на основе ДОВС может служить в качестве датчика температуры с чувствительностью $\sim 1 \frac{\text{рад}}{\text{м.град}}$, которая может управляться путем изменения параметров каналов световода; 2) путем подбора параметров ДОВС можно управлять анизотропией световода и добиться значительного снижения поляризационного дрейфа сигнала.

В заключение авторы благодарят В.М. Машинского и В.Б. Неуструева за полезное обсуждение результатов и А.Н. Гурьянова, Д.Д. Гусовского за изготовление световода с необходимыми параметрами.

С п и с о к л и т е р а т у р ы

- [1] Giallorenzi T.G., Visagio J.A., Dandridge A., Sigel G.H., Cole J.J.H., Rashleigh S., Priest R.G. // IEEE J. of Quant. Electron. 1982. QE-18. N 4. P. 626-665.
- [2] Гурьянов А.Н., Гусовский Д.Д., Девятых Г.Г., Дианов Е.М., Неуструев В.Б., Прохоров А.М. // Квантовая электроника. 1987. Т. 14. № 3. С. 609-611.
- [3] Грудинин А.Б., Дианов Е.М., Дянков Г.Л., Неуструев В.Б. // Радиотехника. 1988. № 9. С. 64-68.
- [4] Унгер Х.Г. Планарные и волоконные оптические волноводы. М.: Мир, 1980.
- [5] Мазурин О.В., Стрельцина М.В., Швайко-Швайковская Т.П. Свойства стекол и стеклообразующих расплавов. Л.: Наука, 1973.
- [6] Ulrich R., Simon A. // Appl. Opt.. 1979. V. 18. N 13. P. 2241-2249.

Отдел теплофизики
АН Узбекской ССР

Поступило в Редакцию
8 июня 1988 г.
В окончательной редакции
28 сентября 1989 г.